

Radiosidade

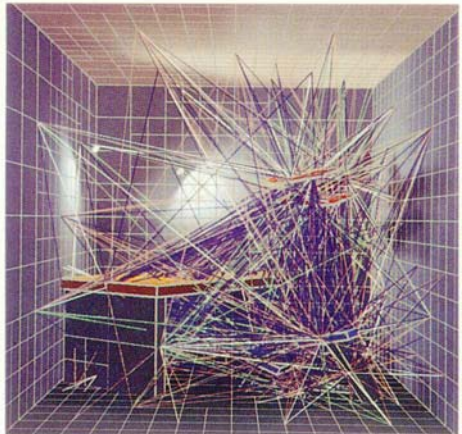
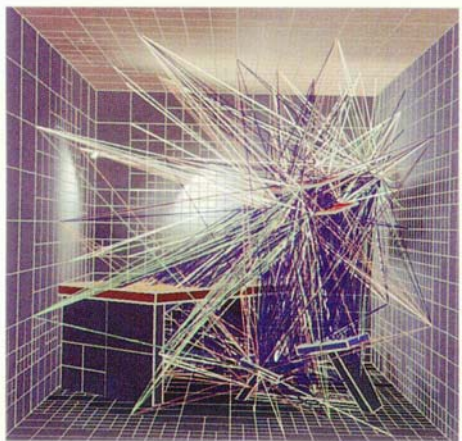
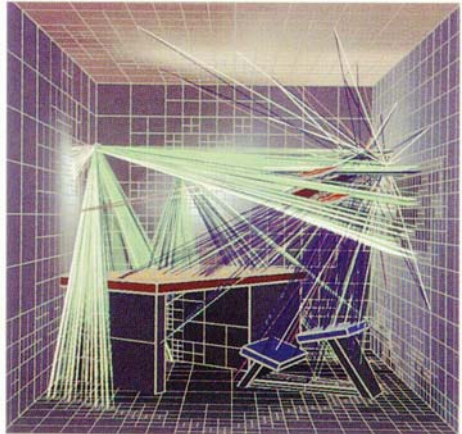
Modelos Locais de Iluminação

- Somente a luz direta ou a primeira reflexão numa superfície são consideradas (modelos de primeira ordem).
 - Modelo de Phong.
 - Completamente empírico.
 - Modelo de Cook e Torrance.
 - Esquema híbrido que usa um modelo físico baseado na rugosidade das superfícies para calcular a intensidade da reflexão e um modelo de ondas para certos efeitos de cor.
 - Modelo de Cabral.
 - Baseado completamente numa simulação física da rugosidade de superfícies.
 - Modelo de Kajiya.
 - Completamente baseado na teoria de ondas (*the rendering equation*).

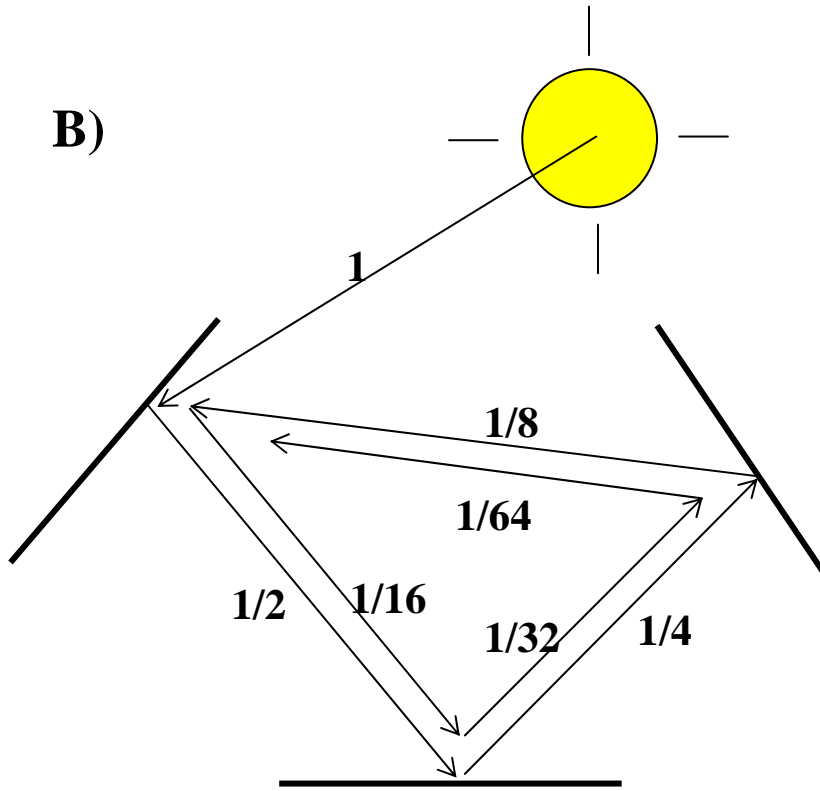
Modelos Globais de Iluminação

- Traçado de raios/*Tc{/Vtcekpi +.
 - Usa um aspecto particular da interação luz-objeto: reflexão especular.
- Radiosidade.
 - Favorece a interação de superfícies difusas em detrimento da reflexão especular.
 - Baseado na teoria de transmissão de calor (Engenharia Mecânica).

Problemas com o Ray-tracing



A)

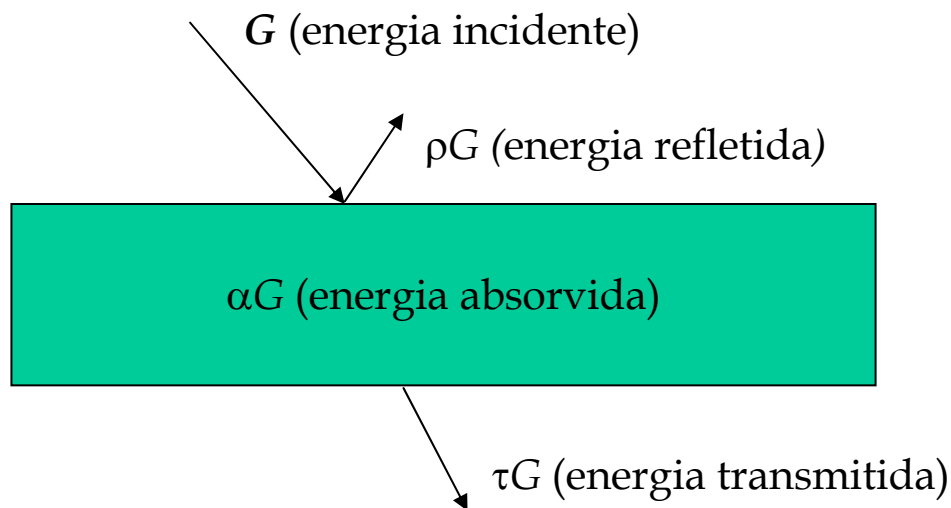


Definições e Propriedades

- Considere-se um raio ou um feixe de energia incidente num corpo:
 - $\alpha \equiv$ fração de energia incidente absorvida: **absorção**.
 - $\rho \equiv$ fração de energia incidente refletida: **reflectância**.
 - $\tau \equiv$ fração de energia incidente transmitida: **transmissão**.

Balanço de Energia

- $G = \alpha G + \rho G + \tau G \Rightarrow I = \alpha + \rho + \tau.$



Materiais

- Para maioria dos sólidos em engenharia $\tau = 0$.
- Para líquidos a mesma suposição pode ser feita (mas depende da espessura).
- Para gases a reflexão é muito pequena e considera-se $\rho = 0$.

Modelos de Reflexão

- A reflexão da energia radiante por uma superfície é descrita em termos de dois modelos ideais: refletores **difusos** e **especulares**.
- **Rugosidade** da superfície tem uma grande influência sobre as propriedades térmicas dos materiais.

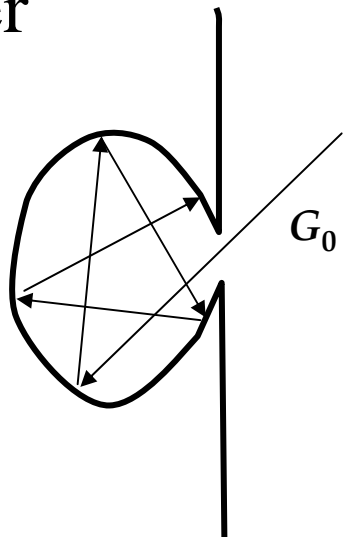
Comportamento em função da rugosidade.

- Se os elementos de rugosidade da superfície são muito pequenos comparados ao comprimento de onda da radiação a superfície é especular.
- Se os elementos de rugosidade da superfície são muito grandes comparados ao comprimento de onda da radiação a superfície é difusa.

Corpos Negros

- A superfície ideal para o estudo da radiação térmica é o **corpo negro**.
 - absorve toda a energia incidente em todos os comprimentos de onda (reflectância = 0).
- Corpo negro é uma idealização que pode ser imaginado como uma cavidade numa superfície com $0 < \alpha < 1$ (buraco de fechadura).

$$G_n = (1 - \alpha)^n G_0.$$



Emissividade

- A energia total emitida por um corpo por unidade de área por unidade de tempo é chamada de **irradiância** (potência emissiva).
- Toda superfície não negra terá uma irradiância E menor do que a de um corpo negro à mesma temperatura.

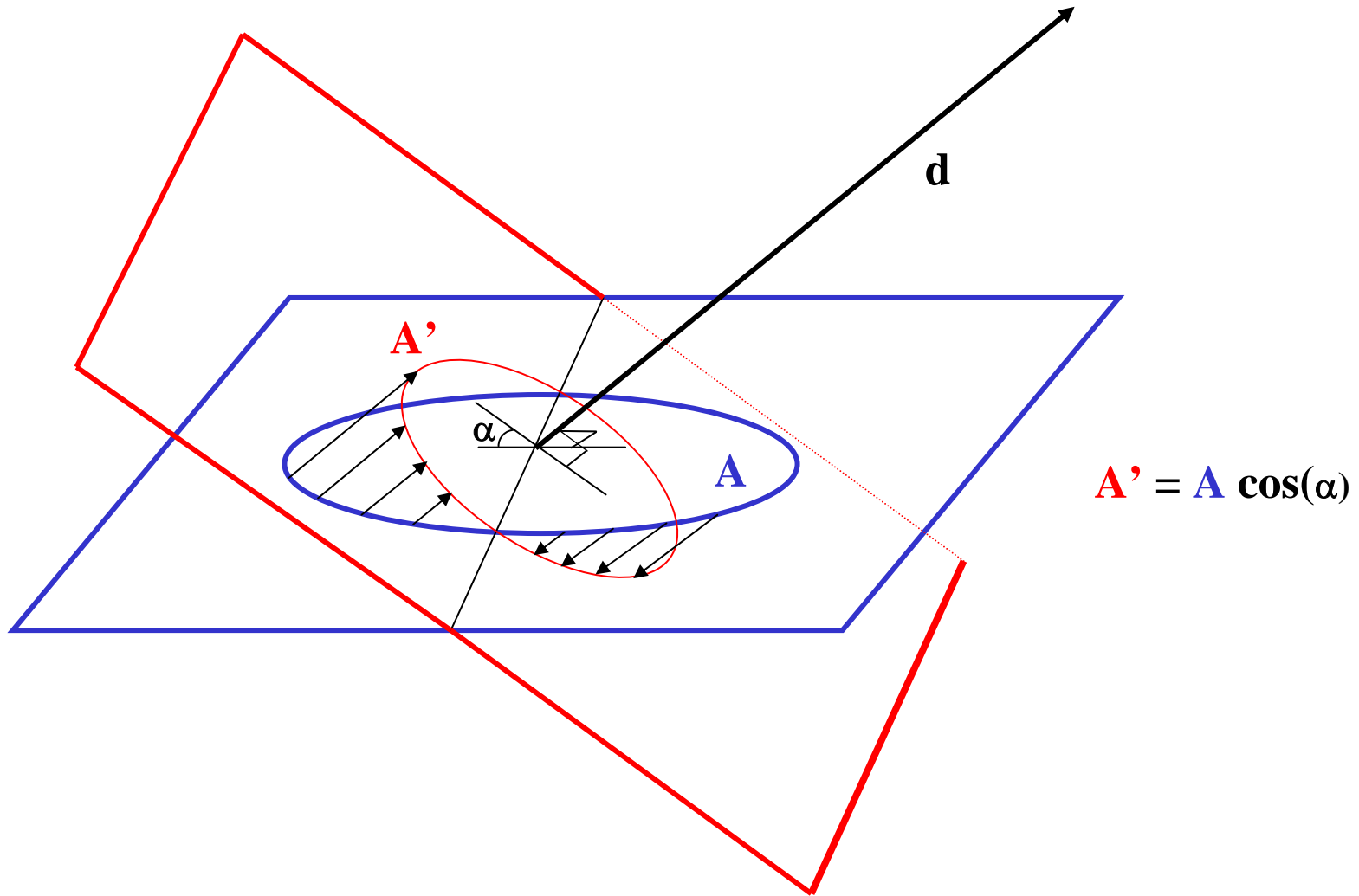
$$\varepsilon = E/E_b \text{ (emissividade).}$$

Emissividade x Temperatura

- Para condutores, emissividades altas correspondem a altas temperaturas.
- O mesmo não é válido para **não condutores**.
- Pela lei de Kirchhoff, $\alpha = \varepsilon$.

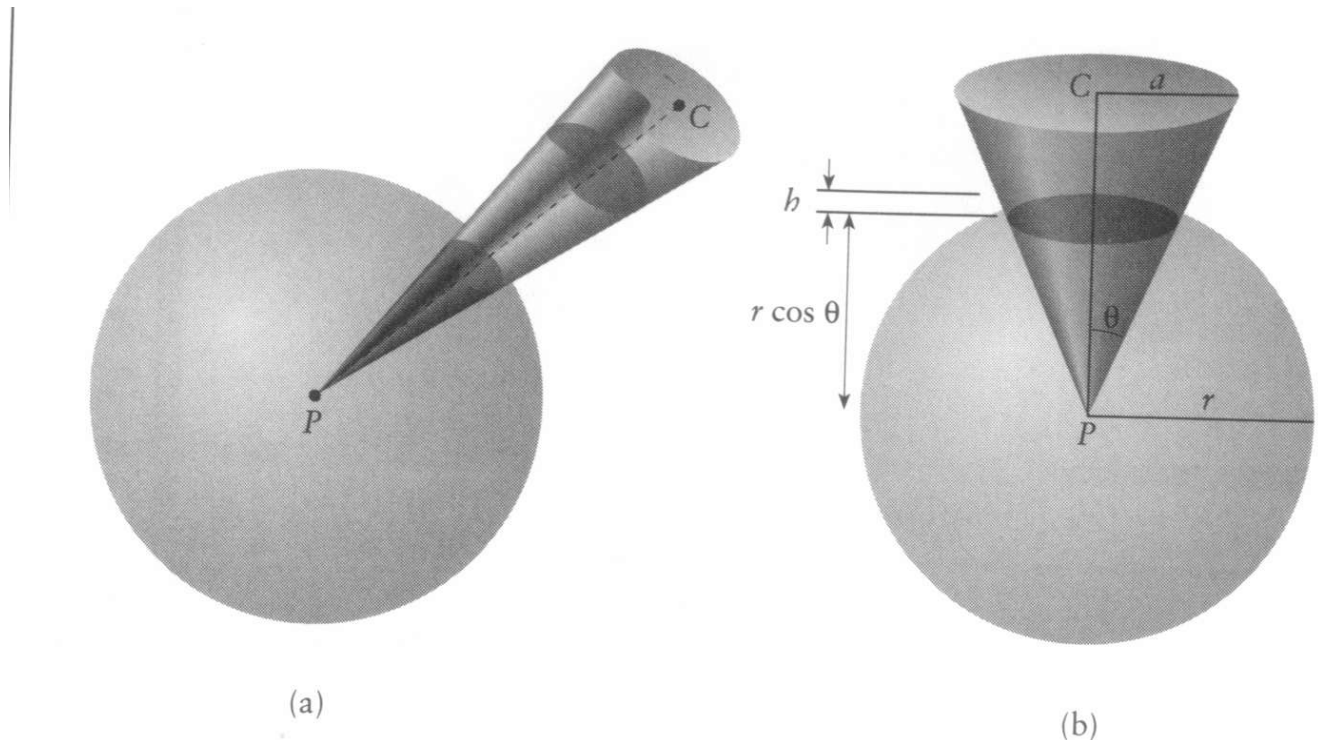
Área Aparente

(Vista de uma dada direção d)

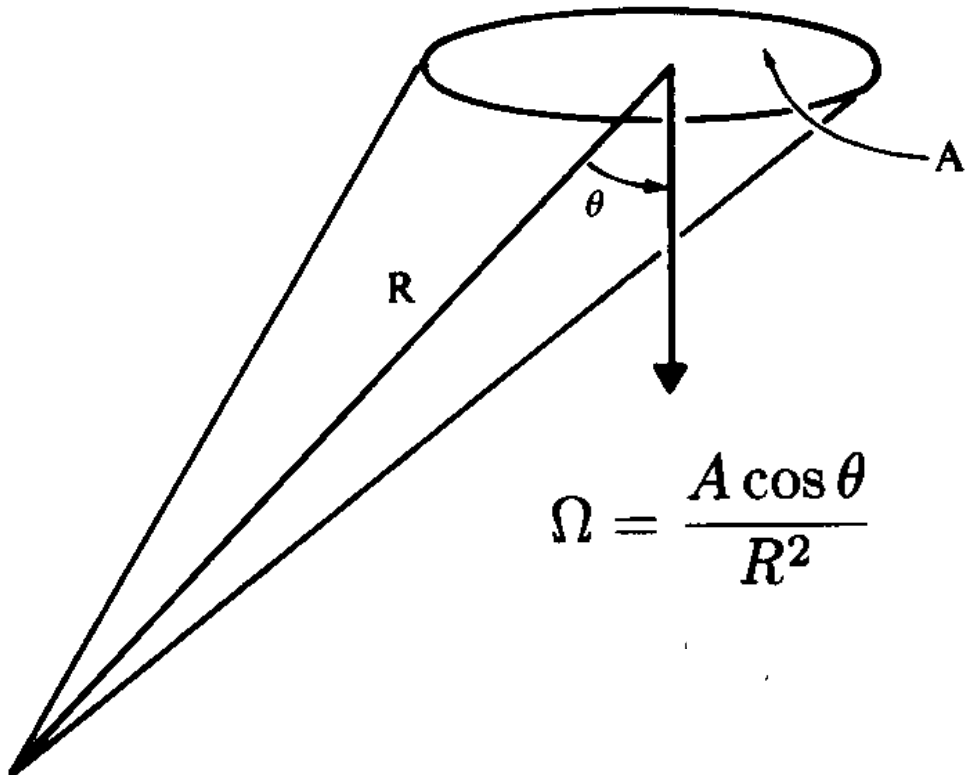


Ângulo Sólido

É a área determinada pela interseção de um cone com a esfera unitária.



Ângulos Sólidos Elementares

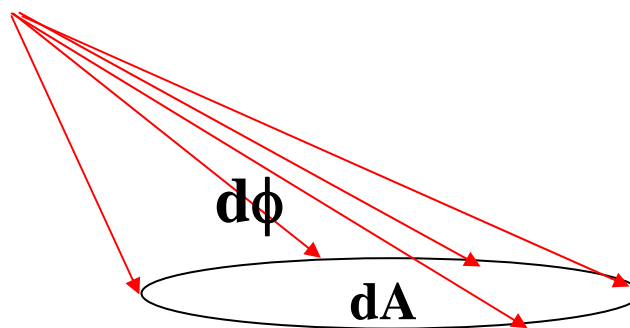


$$\Omega = \frac{A \cos \theta}{R^2}$$

Grandezas Radiométricas

Radiant term	Symbol	Definition	Unit
Energy	Q	—	J
Energy density	w	dQ/dV	J/m^3
Power (flux)	Φ	dQ/dt	W
Flux area density	u	$d\Phi/dA$	W/m^2
Intensity	I	$d\Phi/d\vec{\omega}$	W/sr
Exitance (radiosity)	M	$d\Phi/dA$	W/m^2
Irradiance	E	$d\Phi/dA$	W/m^2
Radiance	L	$d^2\Phi/(dA d\vec{\omega} \cos \theta)$ $= dI/dA^\Phi$ $= dE/d\vec{\omega}^\Phi$	$W/(m^2 \cdot sr)$

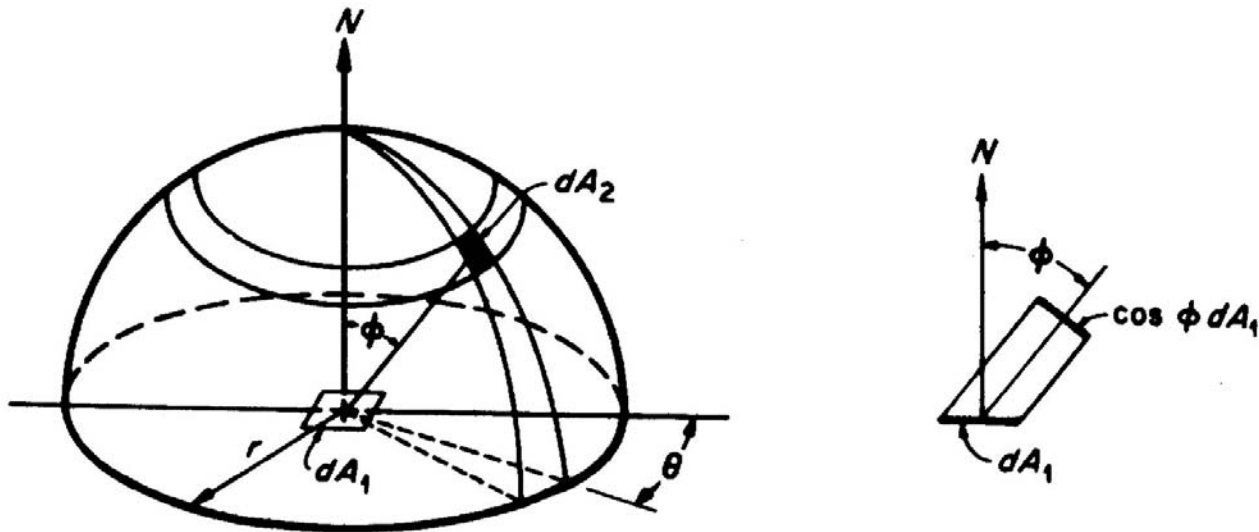
Irradiância:



Energia Total Irradiada

- A energia total irradiada por um elemento de superfície dA_1 é interceptada por um hemisfério imaginário centrado no elemento emissor.
- Seja q_{1-2} a energia que sai do emissor e atinge o sensor e I a radiância do emissor
- Então: $dq_{1-2} = I \cos(\phi) dA_1 d\omega$
 - O ângulo sólido unitário ω é definido por:
$$d\omega = dA_2/r^2.$$

Irradiância



- Integrando sobre todo o hemisfério:

$$dA_2 = r \, d\phi \, (r \sin(\phi) \, d\theta). \text{ Logo,}$$

$$d\omega = \frac{rd\phi(r \sin(\phi)d\theta)}{r^2} = \sin(\phi) \, d\phi \, d\theta$$

Irradiância

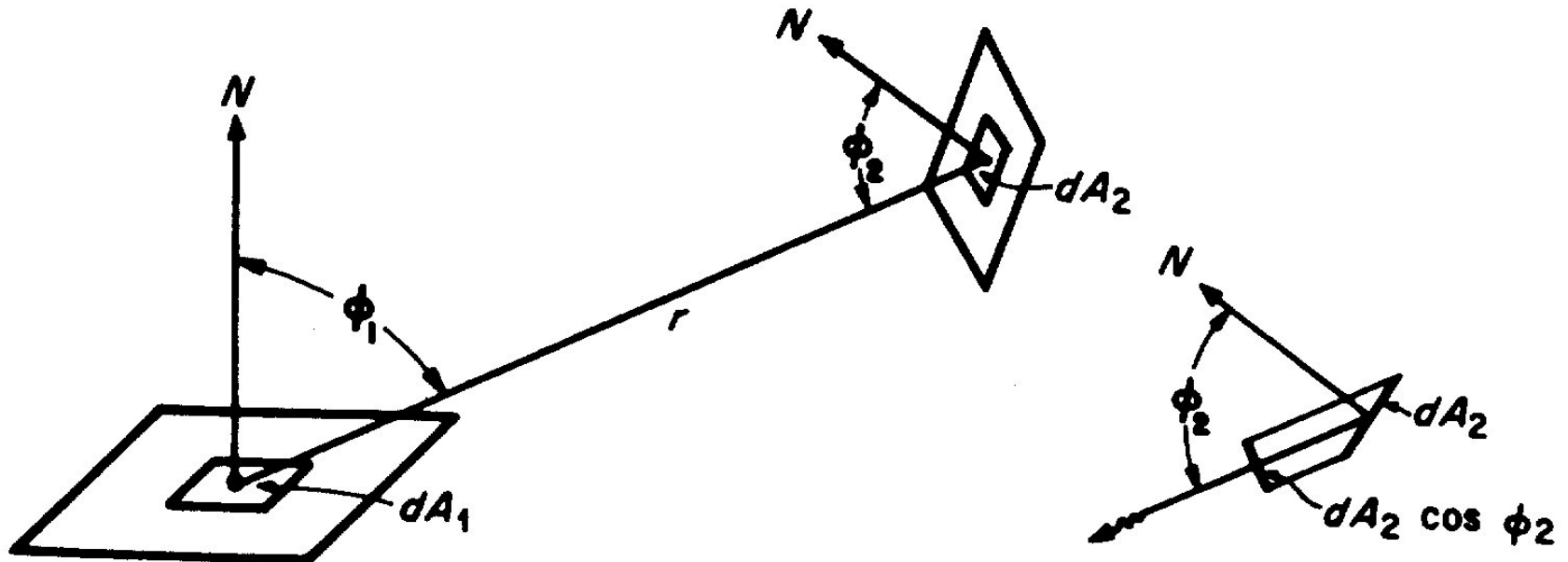
$$q_{1-2} = dA_1 \int_0^{2\pi} \int_0^{\frac{\pi}{2}} I \cos(\phi) \sin(\phi) d\phi d\theta$$

que para um emissor difuso perfeito (corpo negro)
 $I=c^{\text{te}}$ resulta em:

$$\frac{q_{1-2}}{dA_1} = E = \pi I$$

- Potência emissiva (irradiância) de um corpo negro é igual a π vezes a intensidade da radiação (radiância).

Interação entre Dois Elementos de Superfície



Fator de Forma

- **Fator de Forma** é a parcela de energia que deixa um elemento de superfície e atinge um outro elemento.

$$F_{A_i - A_j} = \frac{\text{energia radiante atingindo } A_j \text{ vindo de } A_i}{\text{energia radiante total deixando } A_i \text{ em todas as direções}}$$

Troca de Energia

- A energia irradiada por dA_1 que incide em dA_2 é:

$$dq_{1-2} = I \cos(\phi_1) dA_1 d\omega_{1-2}$$

onde $d\omega_{1-2}$ é a área de dA_2 vista por dA_1 .

$$d\omega_{1-2} = \cos(\phi_2) dA_2 / r^2$$

- A energia total irradiada por dA_1 é: $dq = I \pi dA_1$
- Assim, a troca de energia entre dois elementos infinitesimais é dependente somente da geometria:

$$F_{dA_1-dA_2} = \frac{dq_{1-2}}{dq} = \frac{\cos(\phi_1) \cos(\phi_2) dA_2}{\pi r^2}$$

Fator de Forma

- Supondo que um emissor infinitesimal transmite energia para uma superfície finita:

$$F_{dA_1 - A_2} = \frac{\int_{A_2} I_1 \cos(\phi_1) dA_1 \cos(\phi_2) dA_2 / r^2}{\pi I_1 dA_1}$$

- Como I_1 e dA_1 são independentes de dA_2

$$F_{dA_1 - A_2} = \int_{A_2} \frac{\cos(\phi_1) \cos(\phi_2)}{\pi r^2} dA_2$$

Fator de Forma

- No caso da troca de energia entre duas superfícies Lambertianas finitas:

$$F_{A_1-A_2} = \frac{\int \int_{A_1 A_2} I_1 \cos(\phi_1) dA_1 \cos(\phi_2) dA_2 / r^2}{\int_{A_1} \pi I_1 dA_1}$$

$$F_{A_1-A_2} = \frac{1}{\pi A_1} \int_{A_2} \int_{A_1} \frac{\cos(\phi_1) \cos(\phi_2)}{r^2} dA_1 dA_2$$

Teorema da Reciprocidade

- Soma dos fatores de forma num ambiente fechado é 1.

$$\sum_{j=1}^n F_{A_i - A_j} = 1.0$$

- Teorema da reciprocidade ($A_1 F_{1-2} = A_2 F_{2-1}$).

$$A_1 F_{1-2} = \int_{A_2} \int_{A_1} \frac{\cos(\phi_1) \cos(\phi_2)}{\pi r^2} dA_1 dA_2$$

Propriedades de Subdivisão

- Natureza aditiva (quando o receptor é dividido):

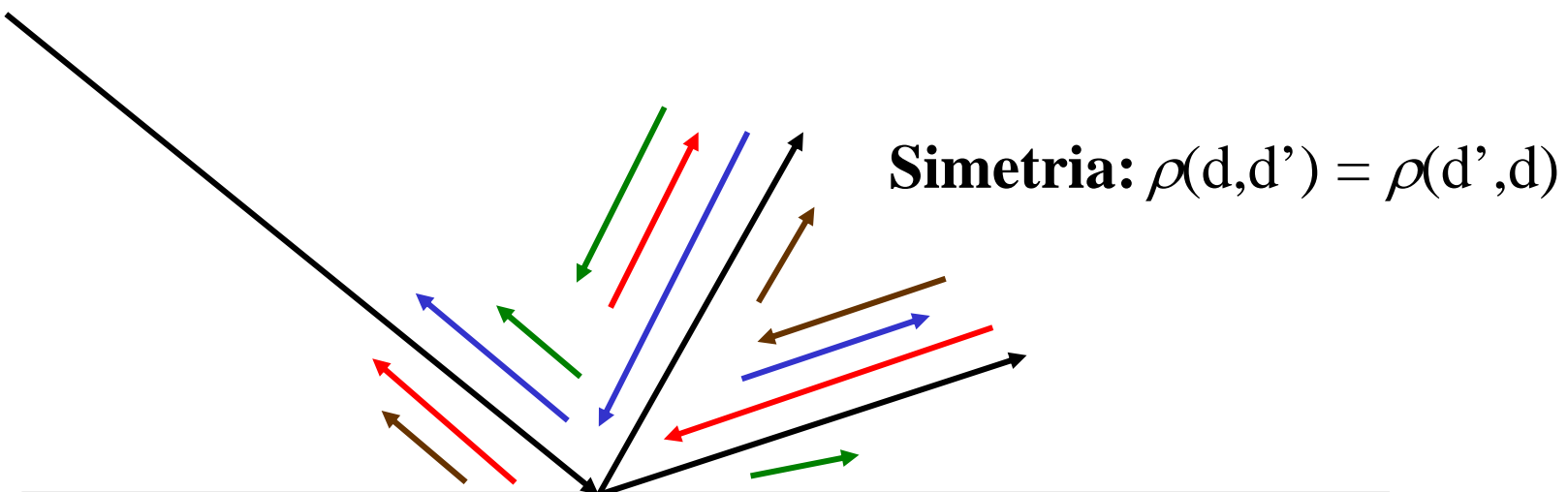
$$F_{dA_1 - A_2} = \int_{A_2} (F_{dA_1 - dA_2}) dA_2$$

- Subdivisão do emissor.

$$F_{A_1 - A_2} = \frac{1}{A_1} \int_{A_1} (F_{dA_1 - A_2}) dA_1$$

Reflectância Bi-direcional BRDF

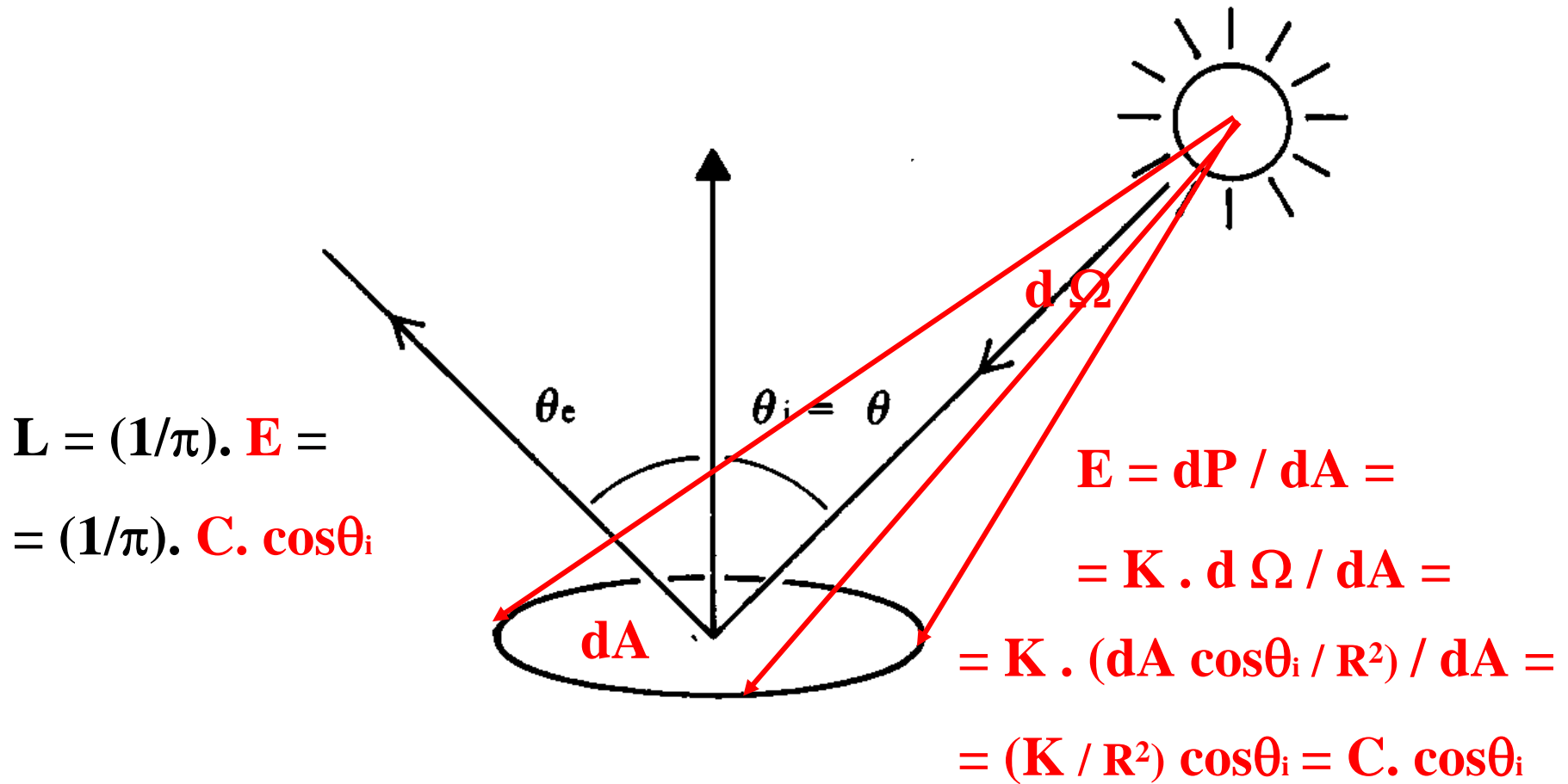
$$\rho(\lambda, \theta_r, \phi_r, \theta_i, \phi_i) = \frac{\text{Radiância que sai em uma direção}}{\text{Irradiância que chega de outra direção}}$$
$$= \frac{I_{\lambda,r}(\lambda, \theta_r, \phi_r, \theta_i, \phi_i)}{I_{\lambda,i}(\lambda, \theta_i, \phi_i) \cos(\theta_i) d\omega_i}$$



Superfícies Lambertianas

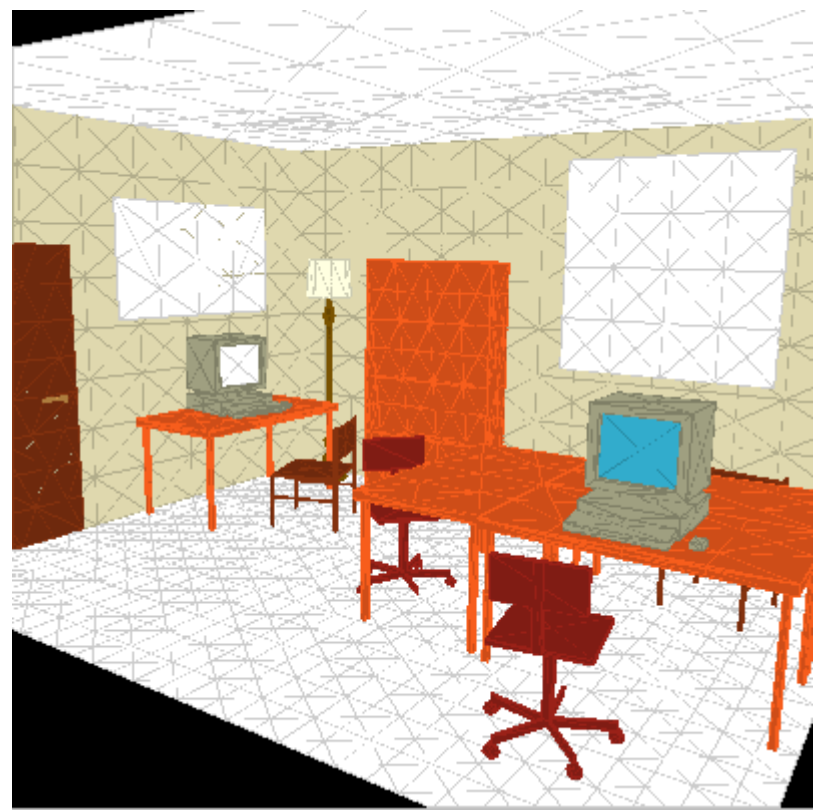
Reflexão é idêntica em todas as direções

$$\text{BRDF: } \rho(d, d') = \text{constante} = 1/\pi$$



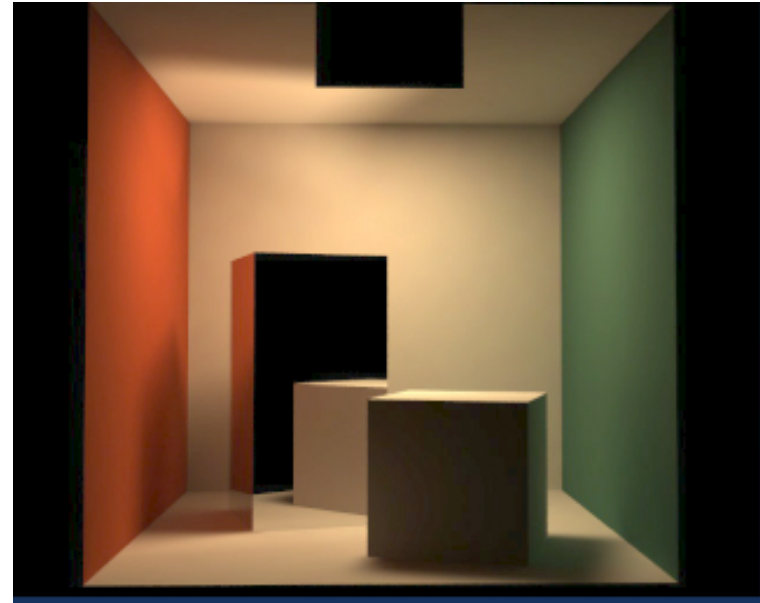
Radiosidade Clássica

- Todas as superfícies são opacas.
- Todas as superfícies são refletores difusos perfeitos ($\rho = c^{te}$).
- Superfícies são discretizadas em retalhos pequenos (*patches*).
- Radiosidade constante nos retalhos.
- Irradiância constante nos retalhos.



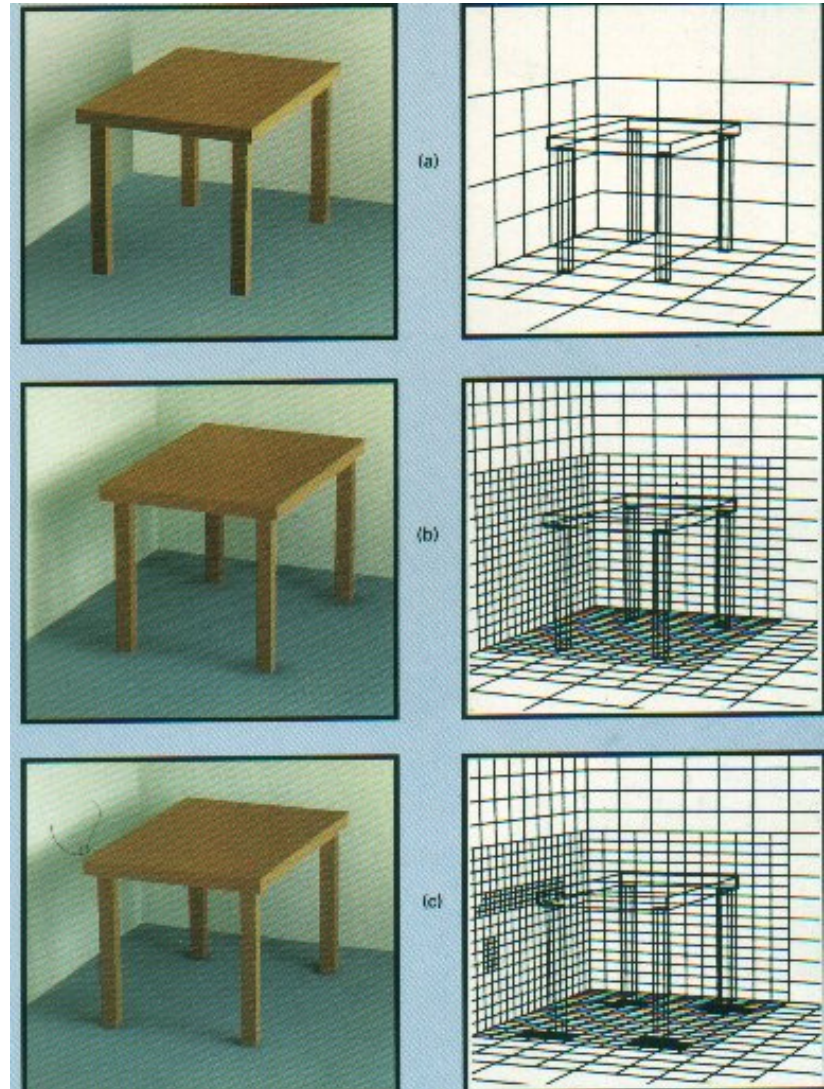
Conceito

- Método de relaxação.
 - Trata a iluminação global como um sistema linear.
 - Requer BRDF constante (superfícies difusas).
 - Resolve equação de iluminação como um problema matricial.
- Processo
 - Subdivide em retalhos.
 - Calcula fatores de forma.
 - Resolve radiosidade.
 - Exibe retalhos.



Hemicubo para Computar Fatores de Forma

- a) 145 retalhos
- b) 1021 retalhos
- c) refinamento de b) por subdivisão adaptativa com 1036 sub-retalhos



Sistema Linear

$$B_i A_i = E_i A_i + \rho_i \sum_{j=1}^n F_{ji} B_j A_j$$
$$A_i F_{ij} = A_j F_{ji}$$

$$B_i = E_i + \rho_i \sum_{j=1}^n F_{ij} B_j$$

$$\begin{bmatrix} 1 - \rho_1 F_{11} & -\rho_1 F_{12} & \cdots & -\rho_1 F_{1n} \\ -\rho_2 F_{21} & 1 - \rho_2 F_{22} & \cdots & -\rho_2 F_{2n} \\ \vdots & \vdots & \ddots & \vdots \\ -\rho_n F_{n1} & -\rho_n F_{n2} & \cdots & 1 - \rho_n F_{nn} \end{bmatrix} \begin{bmatrix} B_1 \\ B_2 \\ \vdots \\ B_n \end{bmatrix} = \begin{bmatrix} E_1 \\ E_2 \\ \vdots \\ E_n \end{bmatrix}$$

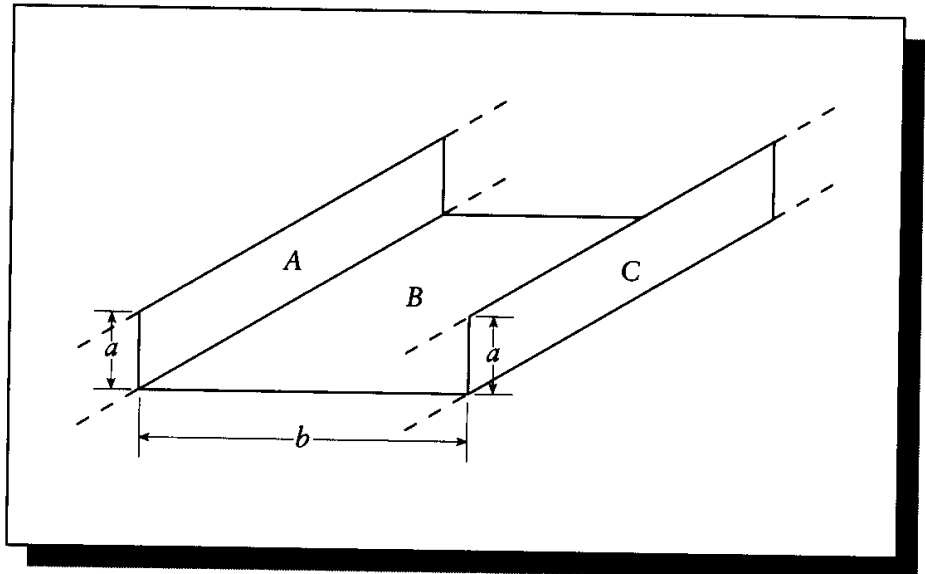
Um Exemplo

Fatores de Forma: $g = b/a$

$$F_{A,B} = \frac{1}{2} \left(1 + g - \sqrt{1 + g^2} \right)$$

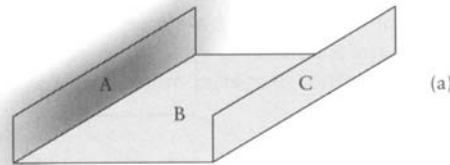
$$F_{A,C} = \sqrt{1 + g^2} - g$$

$$F_{B,C} = \frac{1}{2} \left(1 + \frac{1}{g} - \sqrt{1 + \left(\frac{1}{g} \right)^2} \right)$$

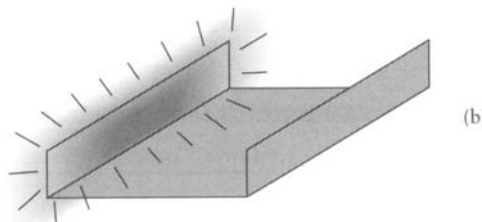


$$K = \begin{bmatrix} 1 & -\rho_A F_{A,B} & -\rho_A F_{A,C} \\ -\rho_B F_{B,A} & 1 & -\rho_B F_{B,C} \\ -\rho_C F_{C,A} & -\rho_C F_{C,B} & 1 \end{bmatrix}$$

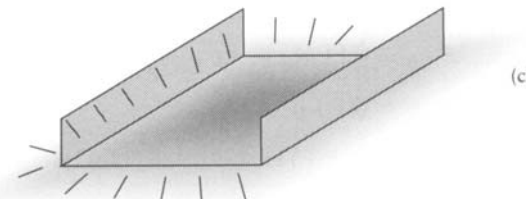
Prateleira Infinita



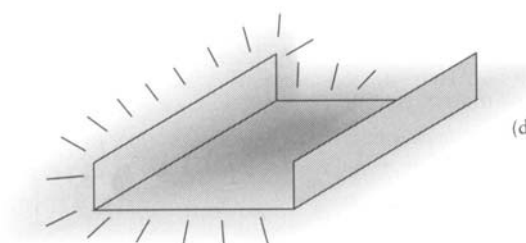
**Só A emite e
não reflete.**



A emite e reflete.



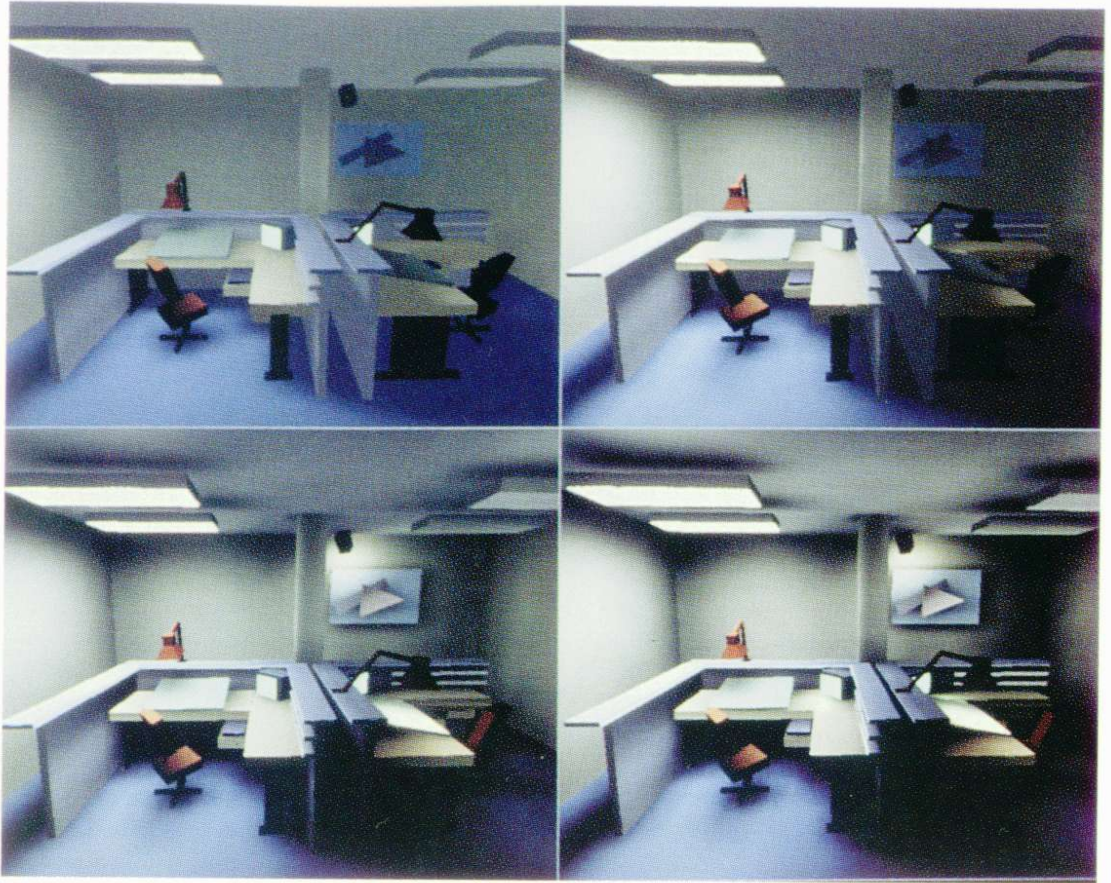
**Só B emite e não
reflete.**



**A e B emitem e
refletem.**

Reflectivity	Emissivity	Radiosity
$\begin{bmatrix} \rho_A \\ \rho_B \\ \rho_C \end{bmatrix}$	$\begin{bmatrix} E_A \\ E_B \\ E_C \end{bmatrix}$	$\begin{bmatrix} B_A \\ B_B \\ B_C \end{bmatrix}$
$\begin{bmatrix} 0 \\ 1/2 \\ 1/3 \end{bmatrix}$	$\begin{bmatrix} 1 \\ 0 \\ 0 \end{bmatrix}$	$\begin{bmatrix} 1 \\ 0.11660 \\ 0.10354 \end{bmatrix}$
$\begin{bmatrix} 1/10 \\ 1/2 \\ 1/3 \end{bmatrix}$	$\begin{bmatrix} 1 \\ 0 \\ 0 \end{bmatrix}$	$\begin{bmatrix} 1.00709 \\ 0.11743 \\ 0.10428 \end{bmatrix}$
$\begin{bmatrix} 1/2 \\ 0 \\ 1/2 \end{bmatrix}$	$\begin{bmatrix} 0 \\ 1 \\ 0 \end{bmatrix}$	$\begin{bmatrix} 0.21133 \\ 1 \\ 0.21133 \end{bmatrix}$
$\begin{bmatrix} 1/10 \\ 1/10 \\ 1/2 \end{bmatrix}$	$\begin{bmatrix} 1 \\ 1 \\ 0 \end{bmatrix}$	$\begin{bmatrix} 1.04647 \\ 0.02906 \\ 0.32853 \end{bmatrix}$

Um Exemplo Real



- Refinamento progressivo depois de 1, 2, 24 e 100 passos.
- 500 retalhos, 7000 sub-retalhos.
- Radiosidade ambiente estimada foi adicionada.